

УДК 543.422.3+546.155+547.1-304.2

O.C. Погребняк, С.В. Бондарчук**СПЕКТРОФОТОМЕТРИЧЕСКОЕ ОПРЕДЕЛЕНИЕ ИОДАТОВ *n*-АНИЗИДИНОМ****Черкасский национальный университет имени Богдана Хмельницкого**

Цель исследования заключалась в том, чтобы предложить простую, экспрессную и в то же время чувствительную методику определения иодат-ионов. Исследованы реакции окисления иодатом некоторых ароматических аминов и их смесей. Проведены квантово-химические расчеты возможных продуктов, а также их спектров поглощения. Наиболее точным функционалом для предсказания электронных спектров исследованных производных является M06-2X. Расчетная спектральная картина реакционных продуктов соответствует двум типам дикатионных аддуктов, производных дифениламина и бензидина. Установлены оптимальные концентрации реагентов и влияние разнообразных условий на чувствительность определения. Предложена методика спектрофотометрического определения иодат-ионов, основанная на окислении *n*-анизидина иодатом в сернокислой среде и фотометрирования продукта реакции при 520 нм. Линейность градуировочного графика сохраняется в диапазоне 2,0–210,0 мг/дм³, $s_r \leq 0,046$, $n=8$. Предел обнаружения иодата (по 3s-критерию) равен 1,3 мг/дм³. Метрологические характеристики методики были проверены на стандартных растворах и образцах иодированной поваренной соли. Методика проста в исполнении и пригодна для определения содержания йода в иодированной соли.

Ключевые слова: иодат, *n*-анизидин, N,N-диэтиланилин, *n*-тиоциано-N,N-диэтиланилин, спектрофотометрия, теория функционала плотности.

Введение

Йод является жизненно необходимым микроэлементом, подавляющее количество которого находится в щитовидной железе и крови. Его дефицит особенно сильно сказывается на работоспособности, утомляемости, способности к концентрации внимания, запоминании и умственных способностях. На территории бывшего СССР дефицит йода имеет место в Центральном регионе России, Западной Украины, Беларуси, республиках Закавказья, на Дальнем Востоке и в Средней Азии. В этих районах среднее потребление иода жителями составляет 40–80 мкг в сутки, что в 2–3 раза меньше суточной потребности человека в этом микроэлементе [1].

Согласно рекомендациям Всемирной организации здравоохранения применяют 4 методы профилактики иододефицитных заболеваний: иодирование соли, хлеба, масла и применения обогащенных иодом биологически активных добавок. Действующие нормативы Украины позволяют использовать для иодирования соли как калий иодид, так и калий иодат (пищевая

добавка Е 917). На практике же вся соль, реализуемая в настоящее время в нашей стране, России и Беларусь обогащается исключительно KIO₃, что обусловлено потерей иода в процессе окисления и испарения в случае KI. Кроме поваренной соли, калий иодат добавляют в муку. При этом, кроме обогащения иодом, благодаря окислению сульфидильных групп протеинов муки достигается улучшение реологических свойств теста: хлеб становится пышнее и черствеет медленнее.

Однако, не только недостаток, но и избыток иода в организме может послужить причиной целого ряда заболеваний [1]. Следовательно, для обеспечения оптимального уровня поступления иода в организм человека и качества иодсодержащих продуктов необходим контроль содержания иода. В связи с этим в последние годы возрос интерес к высокочувствительным и надежным методикам определения иода и его соединений, в частности в продуктах питания. Основная проблема создания таких методик заключается в том, что иод необходимо определять

на уровне микроколичеств в присутствии многих других элементов.

Большинство производителей иодированной соли для контроля содержания иода применяют стандартную иодометрическую методику (ГОСТ Р 51575-2000. Соль поваренная пищевая йодированная. Методы определения йода и тиосульфата натрия), которая при относительной простоте и доступности методика недостаточно точная и чувствительная, а также малоизбирательная. Поэтому для определения содержания иода в поваренной соли предложен ряд альтернативных методик [2–7]. Несмотря на разнообразие всем вышеупомянутым методикам присущи те или иные недостатки: недостаточная избирательность [2,3,6] или невысокая точность [2], низкая экобезопасность [5] или продолжительность [4,7], трудоемкость и необходимость привлечения высококвалифицированного персонала [2–5].

Итак, проблема разработки простой, экспрессной и одновременно чувствительной и экологически безопасной методики определения иодатов в различных объектах остается актуальной.

Экспериментальная часть

Оборудование

Спектры поглощения и оптическую плотность регистрировали фотометром КФК-3, толщина кюветы составляла 1,0 см. Взвешивание веществ осуществляли на аналитических весах ВЛР-200 (Госметр, Россия). Для нагрева и перемешивания растворов использовали магнитную мешалку ММ-5 (Мукачевский завод комплексных лабораторий, Украина). Время измеряли секундомером СОП пр-2а-3-000 (Златоусовский часовой завод, Россия).

Приготовление химических реагентов

Использовали *n*-анизидин (А3) и *n*-тиоциано-*N,N*-диэтиланилин (ТЦДЭА) квалификации “ч.д.а.”, свежеперегнанный *N,N*-диэтиланилин (ДЭА) квалификации “ч.” ($\rho=0,933 \text{ г}/\text{см}^3$, $t_{\text{кип.}}=217^\circ\text{C}$), KIO_3 и H_2SO_4 ($\rho=1,827 \text{ г}/\text{см}^3$) квалификации “х.ч.”.

Растворы А3, ТЦДЭА и ДЭА для предварительных исследований с концентрацией 0,01 моль/дм³ готовили растворением навесок массой 0,0615 г, 0,1038 г и 0,08 см³, соответственно, в мерной колбе емкостью 50,0 см³, содержащей $\approx 20 \text{ см}^3$ дистиллированной воды и 5,8 см³ H_2SO_4 . После охлаждения растворы доводили до метки дистиллированной водой.

Рабочий раствор А3 с концентрацией 0,01 моль/дм³ готовили растворением навески

массой 0,0615 г в мерной колбе емкостью 50,0 см³, содержащей $\approx 10 \text{ см}^3$ дистиллированной воды и 34,8 см³ H_2SO_4 . После охлаждения раствор доводили до метки дистиллированной водой.

Исходный раствор калий иодата (0,01 моль/дм³) готовили в мерной колбе объемом 100,0 см³, путем растворения 0,214 г препарата в дистиллированной воде. Рабочий раствор калий иодата готовили 10-ти кратным разбавлением исходного раствора. Таким образом, его концентрация составляла 175 мг/дм³ в пересчете на IO_3^- .

Методики эксперимента

Для исследования реакции окисления иодатом используемых ароматических аминов реагенты смешивали в таких объемах. В случае с индивидуальными аминами, их растворы для предварительных исследований (0,01 моль/дм³) брали в объеме 4,0 см³ и добавляли 0,2 см³ исходного раствора KIO_3 и 0,8 см³ дистиллированной воды. Для смесей двух определенных используемых ароматических аминов реагенты смешивали в таких объемах: по 2,0 см³ раствора различных ароматических аминов, 0,2 см³ исходного раствора KIO_3 и 0,8 см³ дистиллированной воды. После этого смеси нагревали до температуры 40°C для проявления визуального аналитического эффекта и проводили измерения оптической плотности в диапазоне 400–600 нм. В качестве раствора сравнения во всей работе использовали дистиллированную воду.

Целью выяснения природы окрашенных продуктов в реакции окисления аминов нами были проведены квантово-химические расчеты возможных продуктов, а также их спектров поглощения. Расчеты проводились на основании теории функционала плотности (DFT) с использованием гибридного обменно-корреляционного функционала (B3LYP) и квази-двуократно расщепленного в валентной оболочке базисного набора 6–31G(d, p) [8]. Расчеты спектров поглощения проводились с использованием нестационарного варианта DFT, а именно TD-DFT и ряда функционалов, имеющих различные вклады хартри-фоковского обмена, а именно: CAM-B3LYP, BMK, PBE0 и M06-2X [8]. Для проведения расчетов использовался программный комплекс Gaussian09 [9].

Для определения оптимальной длины волны и времени прохождения реакции смешивали 0,1; 0,2 и 0,3 см³ 0,01 моль/дм³ раствора KIO_3 с 1,9; 1,8 и 1,7 см³ H_2O , соответственно, с 3,0 см³ 0,01 моль/дм³ раствора А3 и нагревали до 40°C после чего снимали спектр поглощения в видимом диапазоне длин волн, или фиксировали

оптическую плотность при оптимальной длине волны 520 нм.

С целью определения оптимальной температуры нагревания реакционной смеси готовили семь одинаковых растворов, смешиванием 0,2 см³ раствора KIO₃ с концентрацией 0,01 моль/дм³, 1,8 см³ H₂O и 3,0 см³ раствора АЗ (0,01 моль/дм³). Один из приготовленных растворов оставляли при 20°C, а остальные нагревали по отдельности до температуры 30–80°C с интервалом 10°C, соответственно, после чего измеряли оптическую плотность каждого из растворов при 520 нм.

Для определения оптимальной молярной концентрации серной кислоты при проведении исследований в десяти стаканчиках смешивали 0,2 см³ раствора KIO₃ (0,01 моль/дм³) с 0,1–1,8 см³ концентрированной серной кислоты. Доводили общий объем смесей дистиллированной водой до 2,0 см³, в случае необходимости, а затем добавляли 3,0 см³ раствора АЗ с концентрацией 0,01 моль/дм³. Нагревали смеси до 40°C, выдерживали 5 мин и измеряли оптическую плотность каждого из растворов при 520 нм.

Для построения градуировочного графика в ряд стаканчиков емкостью 10 см³ к 0,05; 0,10; 0,50; 1,00; 1,50; 2,00 и 2,50 см³ рабочего раствора иодата добавляли дистиллированную воду, в случае необходимости, до общего объема 2,50 см³. Затем добавляли по 2,50 см³ 0,01 моль/дм³ рабочего раствора АЗ в 12 моль/дм³ H₂SO₄, смеси нагревали до 40°C, выдерживали 5 мин и измеряли светопоглощение растворов при 520 нм в кювете толщиной 1,0 см. В качестве раствора сравнения использовали дистиллированную воду.

Результаты и их обсуждение

Исследование реакции окисления иодатом некоторых ароматических аминов и их смесей

В литературе [10] есть данные о возможности качественного обнаружения сильных окислителей, в частности броматов, по реакции образования красителей окислением смеси ароматических аминов. Для этого были предложены ДЭА, диметил-*n*-фенилендиамин, диметиланилин, *o*-, *m*- или *n*-толуидины, *m*- или *n*-нитроанилин и α -нафтиламин [10]. Но такого типа реакции образования красителей для качественного и количественного определения других окислителей, в частности, иодатов в литературе не известны. Ранее [11] нами был предложен ДЭА в присутствии калий бромида для определения иодатов. Несмотря на чувствительность (предел обнаружения равен 0,53 мкг/см³) эта

методика недостаточно избирательная, поскольку оптическая плотность измеряется при 226 нм. Поэтому, перед нами была поставлена цель применить реакции окисления ароматических аминов или их смесей для определения иодатов в видимой области.

Для выяснения наилучшей индикаторной реакции при использовании ароматических аминов, с целью получения максимального аналитического сигнала при окислении их иодатом, были применены такие реагенты: ДЭА, ТЦДЭА и АЗ. Нами было предложено использовать для определения IO₃⁻ указанные выше амины, а также исследовано несколько вариантов смесей органических реагентов: АЗ–ДЭА, АЗ–ТЦДЭА и ТЦДЕА–ДЭА.

Результаты таких исследований приведены на рис. 1, из которого видно, что с помощью предложенных пар органических реагентов (кривые 4–6) действительно возможно открывать иодат-ионы, но чувствительность определения при их применении была бы невысокой. Наибольшая оптическая плотность наблюдалась при применении самого *n*-анизидина (кривая 1), который дает аналитический эффект при нагревании. В случае отдельно взятых ДЭА и ТЦДЭА (кривые 2, 3) никакого видимого эффекта не наблюдалось. Итак, при созданных нами условиях в качестве оптимального реагента решено было воспользоваться раствором *n*-анизидина.

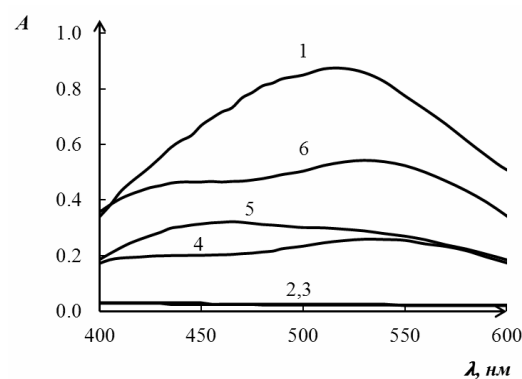


Рис. 1. Спектры поглощения окисленных иодатом ароматических аминов (1–3) и их смесей (4–6). 1 – АЗ; 2 – ТЦДЭА; 3 – ДЭА; 4 – АЗ–ДЭА; 5 – ТЦДЭА–ДЭА; 6 – АЗ–ТЦДЭА. Молярные концентрации, моль/дм³: АЗ, ДЭА и ТЦДЭА=8·10⁻³ (1–3); 4·10⁻³ (4–6); IO₃⁻=4·10⁻⁴; H₂SO₄=1,73; t=40°C

В научной литературе данные о химизме окисления *n*-анизидина иодатом отсутствуют. Поэтому, с целью выяснения природы окрашен-

ных промежуточных продуктов в реакции окисления аминов и их смесей нами были проведены квантовохимические расчеты возможных структур и их спектров поглощения.

Из литературы известно, что окисляясь, анилин образует катионные полимерные цепи ониевого типа, хотя механизм окисления довольно сложный и приводит к целому ряду продуктов [12]. Причина такого многообразия продуктов заключается в том, что катион-радикал анилина имеет дистоническую природу с большими вкладами спиновой плотности на атоме азота и в четвертом положении ядра. В случае же когда *para*-положение ядра занято, процесс окисления обычно заканчивается на этапе образования димера дикатионной природы. Например, в случае *n*-анизидина таким продуктом является дикатион *N*-(4-метоксифенил)-1,4-бензодиамина [12].

Иная картина наблюдается в случае третичных аминов. Стерические препятствия являются причиной того, что рост полимерной цепи может проходить лишь по 4 положению ядра. Вследствие этого также образуется дикатионный димер бензидинового типа [13]. Таким образом, шесть реакций, исследованных в данной работе (рис. 1), можно классифицировать на две группы: группа А (реакции 1, 4, 6), группа В (реакции 2, 3, 5) в зависимости от природы аминогруппы. Данные механизмы приведены на схемах 1 и 2 [12,13].

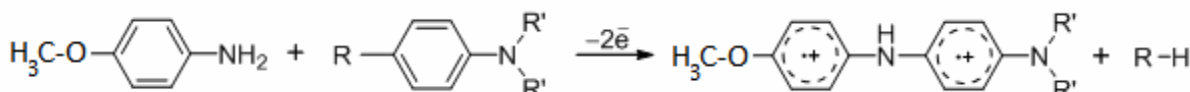


Схема 1. Механизм образования продуктов реакций группы А. Реакция 1: R = OCH₃; R' = H. Реакция 4: R=H; R'=C₂H₅.
Реакция 6: R=SCN; R'=C₂H₅

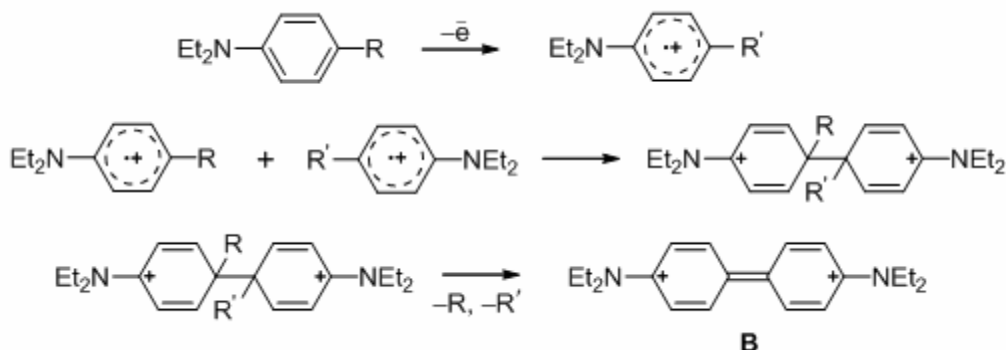


Схема 2. Механизм образования продуктов реакций группы В (Et=C₂H₅). Реакция 2: R=SCN; R'=SCN. Реакция 3: R=H; R'=H. Реакция 5: R=SCN; R'=H

Отметим, что дикатион типа В (схема 2) записан в виде хиноидной формы, что соответствует распределению бейдеровских зарядов и длин связей в оптимизированной структуре,

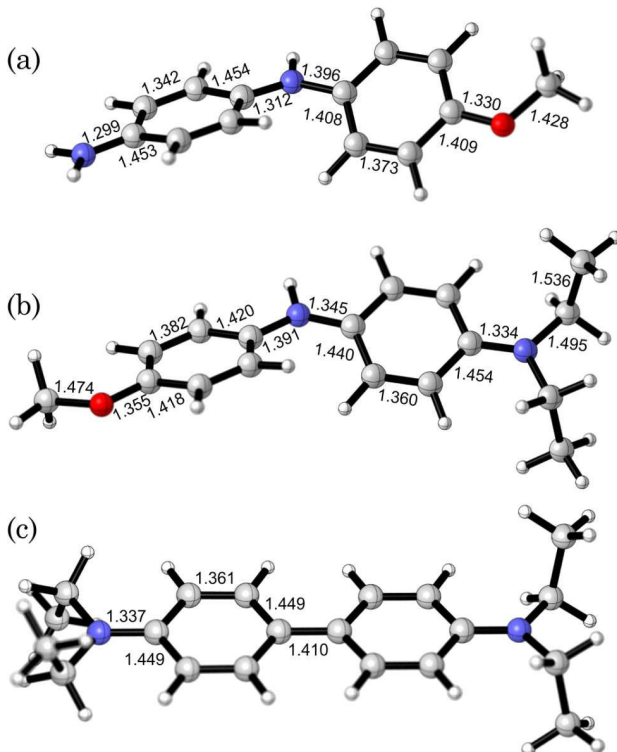


Рис. 2. Структуры дикатионов A1 (a), A4 (b) и B5 (c), оптимизированные методом DFT(B3LYP)/6-31G(d,p). Длины связей приведены в ангстремах

изображенной на рис. 2. Подобная ситуация характерна и для катионов A. Представление данных структур в виде аммонийных катионов является принципиально неверным, так как окисление анилина ведет к частичному разрушению π -системы кольца, а не неподеленной пары атома азота.

Из рис. 1 видно, что имеется три различных по природе продукта в серии из 6 реакций. Такими продуктами являются катион A1, катионы A4 и A6 (идентичные продукты), а также катион B5 (по природе идентичен катионным продуктам реакций B2 и B3). Оптимизированные структуры данных катионов изображены на рис. 2.

Для калибровки метода расчета спектра поглощения нами были рассчитаны электронные спектры катиона A1 разными методами (табл. 1). Из табл. 1 видно, что наиболее точным функционалом является M06-2X. Этот функционал, наряду с CAM-B3LYP, был показан как наиболее точный для предсказания электронных спектров различных производных бензидина [13]. Таким образом, данный функционал был использован далее для расчета спектров поглощения катионов A4 и B5. Результаты приведены в табл. 2.

Таблица 1

Значения λ_{\max} для катиона A1, предсказанные функционалами с разным вкладом хартри-фоковского обмена

Функционал	λ_{\max} , нм
B3LYP	581
CAM-B3LYP	542
BMK	544
PBE0	601
M06-2X	536

Таблица 2

Значения λ_{\max} для катионов A1, A4 и B5 рассчитанные методом TD-DFT(M06-2X)/6-31G(d, p)

Катион	λ_{\max} , нм	
	Эксперимент	Расчет
A1	520	536
A4 (A6)	550	567
B5 (B2, B3)	470	492

Из табл. 2 видно, что имеется хорошее со-

ответствие с экспериментом по значениям λ_{\max} для катионов A1, A4 и B5. Из расчетов данным методом виден небольшой батохромный сдвиг на 16 нм (катион A1), 17 нм (катион A4) и 22 нм (катион B5). Таким образом, можно сделать вывод, что механизмы, описанные в схемах 1 и 2, являются корректными.

Так же следует отметить, что отсутствие окрашенных продуктов в реакциях 2 и 3 (рис. 1) связано с экспериментальными условиями, поскольку исходные концентрации аминов чрезвычайно малы. Но с теоретической точки зрения, данные реакции являются принципиальными аналогами реакции 5 (рис. 1). Поэтому, в иных экспериментальных условиях следует ожидать поглощение продуктов реакции в области около 470 нм.

Таким образом, по нашему мнению, окисление *n*-анизидина проходит по механизму, который аналогичен механизму окисления подобных по строению ароматических аминов с образованием дикатионного продукта бензидинового типа [13]. В результате реакции образуется окрашенное вещество дикатион *N*-(4-метоксифенил)-1,4-бензодиамина [12] (МФБД) (схема 3).

Для того чтобы использовать окисление А3 иодатом в качестве индикаторной реакции для определения IO_3^- -ионов прежде всего нужно выяснить оптимальные условия этого процесса, а именно: длину волны, которая соответствует максимуму в спектре поглощения образованного красителя, время прохождения реакции, температурный режим процесса и кислотность реагентной смеси.

Результаты определения оптимальной длины волны приведены на рис. 3. Как видно из спектров поглощения образованного окрашенного продукта, при различных концентрациях иодата, максимальная оптическая плотность наблюдается при длине волны $\lambda=520$ нм. Итак, наибольшая чувствительность определения будет именно при $\lambda=520$ нм и потому данная длина волны была выбрана как оптимальная.

Результаты определения оптимального времени, необходимого для полного прохождения реакции приведены на рис. 4, из которого видно, что, несмотря на различные концентрации иодата, наблюдается рост оптической плотности во времени. После 30 мин значение свето-

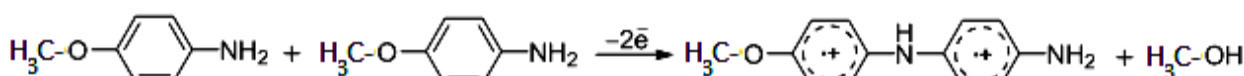


Схема 3. Выяснение оптимальных условий индикаторной реакции

поглощения почти стабилизируется, что указывает на полное прохождение реакции окисления АЗ (образование дикатиона МФБД) при созданных нами условиях. Но для практического применения ожидание в течение 30 мин нецелесообразно, поэтому для ускорения процесса окисления предложено нагревать исследуемые растворы до определенной температуры.

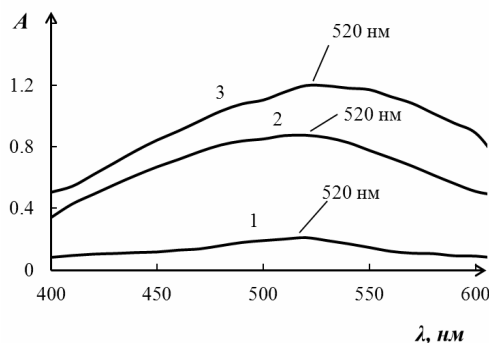


Рис. 3. Спектры поглощения раствора красителя в зависимости от концентрации иодата. Молярные концентрации, моль/дм³: $\text{IO}_3^- = 2 \cdot 10^{-4}$ (1), $4 \cdot 10^{-4}$ (2), $6 \cdot 10^{-4}$ (3); $\text{A3} = 6 \cdot 10^{-3}$; $\text{H}_2\text{SO}_4 = 1,30$; $t = 40^\circ\text{C}$

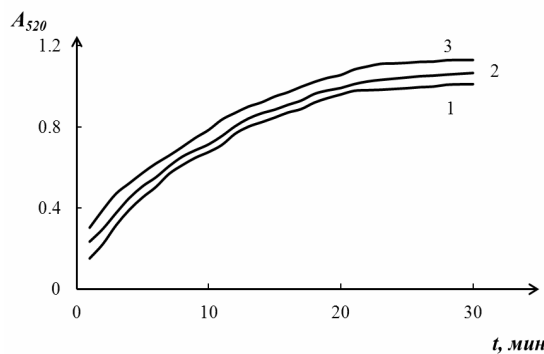


Рис. 4. Зависимость оптической плотности реакционной смеси от времени. Молярные концентрации, моль/дм³: $\text{IO}_3^- = 2 \cdot 10^{-4}$ (1), $4 \cdot 10^{-4}$ (2), $6 \cdot 10^{-4}$ (3), $\text{A3} = 6 \cdot 10^{-3}$; $\text{H}_2\text{SO}_4 = 1,30$; $t = 40^\circ\text{C}$

Результаты определения оптимальной температуры нагревания приведены на рис. 5, на котором четко виден максимум оптической плотности при нагревании до температуры $\approx 40^\circ\text{C}$. При нагревании до более высокой температуры образовавшееся соединение, очевидно, разлагается и оптическая плотность уменьшается. Итак, оптимальной температурой, до которой нужно нагревать растворы является 40°C .

Результаты определения оптимальной молярной концентрации серной кислоты приве-

дены на рис. 6, из которого видно, что максимальная оптическая плотность наблюдается при молярной концентрации $\text{H}_2\text{SO}_4 \geq 6$ моль/дм³. Для упрощения методики определения иодатов этот факт мы учитывали при подготовлении рабочего раствора АЗ, который содержал 12 моль/дм³ H_2SO_4 .

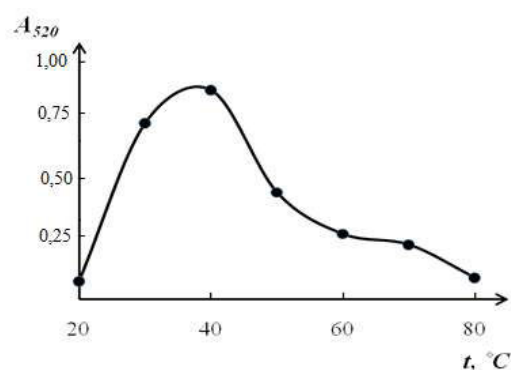


Рис. 5. Зависимость оптической плотности от температуры предварительного нагревания исследуемого раствора.
Молярные концентрации, моль/дм³: $\text{IO}_3^- = 4 \cdot 10^{-4}$,
 $\text{A3} = 6 \cdot 10^{-3}$; $\text{H}_2\text{SO}_4 = 1,30$

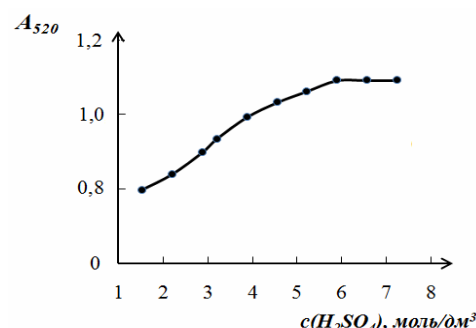


Рис. 6. Зависимость оптической плотности исследуемого раствора от концентрации серной кислоты. Молярные концентрации, моль/дм³: $\text{IO}_3^- = 4 \cdot 10^{-4}$, $\text{A3} = 6 \cdot 10^{-3}$, $t = 40^\circ\text{C}$

Итак, оптимальными условиями индикаторной реакции являются: длина волны $\lambda_{\max} = 520$ нм, температура, до которой нужно нагревать исследуемые смеси 40°C , молярная концентрация $\text{H}_2\text{SO}_4 \geq 6$ моль/дм³.

Спектрофотометрическое определение иодатов *n*-анизидином

При оптимальных условиях светопоглощение образованного красителя зависит от концентрации иодата (рис. 3), что позволяет количественно определять IO_3^- -ион методом градирровочного графика (ГГ).

При оптимальных условиях уравнения ГГ

имеет вид ($R^2=0,998$; $n=8$):

$$A_{520}=(0,020\pm 0,013)+(0,015\pm 0,001)\cdot C(\text{IO}_3^-), \text{мг/дм}^3. \quad (1)$$

Расчеты ГГ и коэффициента корреляции (R^2) проводили с помощью компьютерной программы Origin 7.0. Предел обнаружения иодата, рассчитанный по 3s-критерию, составляет 6,5 мг/дм³. Линейность ГГ сохраняется в интервале 10–210 мг/дм³.

Для увеличения чувствительности определения объемы реагентов увеличивали в 5 раз, одновременно уменьшая концентрацию рабочего раствора иодатов тоже в 5 раз, и использовали кювету с толщиной поглощающего слоя 5,0 см. В таком случае уравнение ГГ имеет вид:

$$A_{520}=(0,020\pm 0,013)+(0,075\pm 0,001)\cdot C(\text{IO}_3^-), \text{мг/дм}^3. \quad (2)$$

Предел обнаружения иодатов рассчитанный по 3s-критерию, составляет в таком случае 1,3 мг/дм³. Линейность ГГ сохраняется в интервале 2–42 мг/дм³. Относительное стандартное отклонение в обоих случаях составило 0,034.

Для проверки правильности и сходимости результатов были приготовлены и проанализированы стандартные растворы с содержанием IO_3^- 50,0; 105,0 и 150 мг/дм³. Анализ растворов на содержание иодатов проводили аналогично, как и при построении градиуровочного графика. Содержание IO_3^- -иона находили по уравнению ГГ (1).

Было проведено восемь параллельных определений содержания иодатов по предложенной нами методике. Результаты определения иодатов в стандартных растворах приведены в табл. 3.

Таблица 3

Результаты определения иодатов в стандартных растворах методом «введено-найдено» ($P=0,95$; $n=8$)

Содержание IO_3^- , мг/дм ³		S_r
Введено	Найдено $x\pm\Delta x$	
50,0	51,2±1,65	0,039
105,0	105,5±0,73	0,034
150,0	151,2±2,79	0,046

Видно, что методика характеризуется удовлетворительной правильностью и сходимостью. Относительное стандартное отклонение при определении иодата не превышает 0,046, что, по нашему мнению, позволяет рекомендовать использование предложенной методики для определения иодатов. Методика, очевидно, также

может быть использована также для количественного определения веществ, которые способны окислять *n*-анизидин с образованием соответствующего красителя (IO_4^- , BrO_3^- , $\text{Cr}_2\text{O}_7^{2-}$ -ионы и т.д.).

Определение содержания иода в иодированной соли

Апробация методики на стандартных растворах дает возможность утверждать о целесообразности ее использования для анализа образцов иодированной поваренной соли.

Определение содержания иодата в иодированной соли проводили следующим образом. Навеску иодированной соли массой 35,000 г количественно переносили в мерную колбу емкостью 100,0 см³, растворяли в дистиллированной воде, доводили до метки и перемешивали. При необходимости раствор фильтровали. В химическом стакане емкостью 50,0 см³ смешивали 10,0 см³ раствора *n*-анизидина в серной кислоте ($c(\text{H}_2\text{SO}_4)=12$ моль/дм³) с 10,0 см³ полученного раствора поваренной соли. Раствор нагревали до 40°C и измеряли оптическую плотность в кювете толщиной 5,0 см при 520 нм. В качестве раствора сравнения использовали дистиллированную воду. Содержание иодата рассчитывали по уравнению ГГ(2) и пересчитывали на содержание иода в твердом образце (в 10⁻⁴%).

Для сравнительного контроля проводили иодометрическое титрование образцов соли согласно стандартной методике (ГОСТ Р 51575–2000). Результаты апробации методик на образцах иодированной соли разного качества приведены в табл. 4, из которой видно, что содержание иода в образцах, не всегда соответствует указанному ГОСТ, согласно которому массовая доля иода должна быть в пределах (40±15)·10⁻⁴%.

Из табл. 4 видно, что воспроизводимость разработанной методики несколько выше по сравнению со стандартной методикой. Но разница по критерию Фишера оказалась статистически не значимой величиной:

$$F_1 = \frac{S_1^2}{S_2^2} = \frac{3,6}{2,8} = 1,29; \quad F_2 = \frac{S_2^2}{S_1^2} = \frac{4,2}{3,6} = 1,17;$$

$$F_3 = \frac{S_1^2}{S_2^2} = \frac{4,1}{3,8} = 1,08,$$

так, как рассчитанные значения F_{1-3} меньше табличного значения $F(P=0,95; n=8)=6,4$ [14]. Таким образом, обе выборки принадлежат к

Таблица 4

Результаты анализа образцов иодированной соли различных производителей Украины (Р=0,95; n=8)

№ п/п	Производитель*	Качество иодированной соли	Стандартная методика (ГОСТ Р 51575–2000)		Разработанная методика	
			Содержание иода, 10 ⁻⁴ %	Дисперсия S^2_1	Содержание иода, 10 ⁻⁴ %	Дисперсия S^2_2
1	ООО "Славянская соледобывающая компания" Донецкая обл., г. Славянск	Экстра	34±2	3,6	33±2	2,8
2	ООО "Руссолль" Донецкая обл., пгт. Райгородок	Экстра	33±2	3,6	25±3	4,2
3	ГП "Артемсоль", Донецкая обл., г. Соледар	I сорт	39±3	4,1	45±3	3,8

Примечание: * – образцы были приобретены в марте 2017 г. в розничной торговой сети г. Черкассы.

одной генеральной совокупности и результаты спектрофотометрического и титриметрического определения можно рассматривать как результаты одной выборки.

Выходы

Предложенная нами методика достаточно проста в исполнении, выборочная и экобезопасная. Время одного анализа для определения иодат-ионов не превышает 10 мин. Таким образом, разработанная методика может быть рекомендована как альтернативная для контроля содержания иода в иодированной соли.

СПИСОК ЛИТЕРАТУРЫ

1. Моллаева Н.Р., Дикевич Е.А. Способы коррекции психических нарушений у детей в йододефицитном регионе // Рус. мед. журн. – 2007. – № 28. – С.2182-2187.

2. Определение йода в пищевых продуктах методом инверсионной вольтамперометрии / Носкова Г.Н., Иванова Е.Е., Толмачева Т.П., Зачико А.В. // Пищевая промышленность. – 2006. – № 2. – С.16-18.

3. Spectrophotometric method for the determination of iodate using methylene blue as a chromogenic reagent / Narayana B., Pasha C., Cherian T., Mathew M. // Bull. Chem. Soc. Ethiop. – 2006. – Vol.20. – No. 1. – P.143-147.

4. Afkhami A., Mosaed F. Sensitive kinetic-spectrophotometric determination of iodate in iodized table salt based on its accelerating effect on the reaction of bromate with chloride ion in the presence of hydrazine // Anal. Sci. – 2002. – Vol.18. – P.667-670.

5. Determination of iodate in iodized salt by reversed-phase high-performance liquid chromatography with UV detection / Xu X.R., Li H.B., Gu J.-D., Paeng K.J. // Chromatographia. – 2004. – Vol.60. – P.721-723.

6. Xie Z., Zhao J. Reverse flow injection spectrophotometric determination of iodate and iodide in table salt // Talanta. – 2004. – Vol.63. – No. 2. – P.339-343.

7. Pasha C., Narayana B.A Highly sensitive spectrophotometric method for the determination of iodate using leuco xylene cyanol FF // Acta Chim. Slov. – 2006. – Vol.53. – No.1. – P.77-80.

8. Su N.Q., Xu X. Development of new density functional approximations // Annu. Rev. Phys. Chem. – 2017. – Vol.68. – P.155-182.

9. Gaussian 09, Revision A.02 [Электронный ресурс] / M.J. Frisch et. al. // Gaussian, Inc. – Wallingford CT, 2009. – Режим доступа к программе: <http://www.gaussian.com/>.

10. Крешков А.П. Основы аналитической химии. – М.: Химия, 1970. – Т.1. – С.372.

11. Запорожец О.А., Погребняк О.С., Визир Н.Н. Спектрофотометрическое определение оксогалогенидов N,N-диэтиланилином // Журн. анализ. химии. – 2012. – Т.67. – № 8. – С.770-776.

12. The oxidation of aniline to produce «polyaniline»: a process yielding many different nanoscale structures / Tran H.D., D'Arcy J.M., Wang Y., Beltramo P.J., Strong V.A., Kaner R.B. // J. Mater. Chem. – 2011. – Vol.21. – No. 11. – P.3534-3550.

13. Bondarchuk S.V., Minaev B.F. Electronic descriptors for analytical use of the benzidine-based compounds and the mechanism of oxidative coupling of anilines // J. Phys. Org. Chem. – 2014. – Vol.27. – No. 8. – P.640-651.

14. Мінаєва В.О., Бочарнікова В.М. Математична обробка даних хімічного експерименту. – Черкаси: Вид. від. ЧНУ імені Богдана Хмельницького, 2003. – 208 с.

Поступила в редакцию 07.05.2018

СПЕКТРОФОТОМЕТРИЧНЕ ВИЗНАЧЕННЯ ЙОДАТИВ П-АНІЗИДИНОМ

O.S. Погребняк, С.В. Бондарчук

Мета дослідження полягала в тому, щоб запропонувати просту, експресну і у той же час чутливу методику визначення йодат-іонів. Досліджено реакції окислення йодатом деяких ароматичних амінів і їх суміші. Виконані квантово-хімічні розрахунки можливих продуктів, а також їх спектрів поглинання. Найбільш точним функціоналом для передбачення електронних спектрів дослідженіх похідних є M06-2X. Розрахункова спектральна картина реакційних продуктів відповідає двом типам дикатіонічних аддуктів, похідних дифеніламіну і бензідину. Встановлено оптимальні концентрації реагентів і вплив різноманітних умов на чутливість визначення. Запропоновано методику спектрофотометричного визначення йодат-іонів, що базується на окисленні p-анізидину йодатом в сірчанокислій середовищі і фотометруванні продукту реакції при 520 нм. Лінійність градуювального графіка зберігається в діапазоні 2,0–210,0 мг/дм³, $s_{\text{d}} \leq 0,046$, $n=8$. Межа виявлення йодату (за 3-кратнему) дорівнює 1,3 мг/дм³. Метрологічні характеристики методики були перевірені на стандартних розчинах і зразках йодованої кухонної солі. Методика проста у виконанні і придатна для визначення вмісту йоду в йодованій солі.

Ключові слова: йодат, p-анізидин, N,N-діетиланілін, p-тіоцано-N,N-діетиланілін, спектрофотометрія, теорія функціонала густини.

SPECTROPHOTOMETRIC DETERMINATION OF IODATES USING P-ANISIDINE

O.S. Pogrebnyak, S.V. Bondarchuk

The Bohdan Khmelnytsky National University of Cherkasy, Cherkasy, Ukraine

The aim of the study was to develop a simple, rapid and sensitive analytical method for the determination of iodate ions. The oxidation reactions of certain aromatic amines and their mixtures with iodate ion were studied. Quantum-chemical calculations of possible products as well as their absorption spectra were performed. M06-2X is the most accurate functional to predict electronic spectra of the studied derivatives. The calculated spectral pattern of the reaction products corresponds to two types of dicationic adducts, derivatives of diphenylamine and benzidine. The optimal concentrations of the reagents were determined and the influence of various conditions on the determination sensitivity was investigated. A technique for spectrophotometric determination of iodate ions based on the oxidation of p-anisidine with iodate in a sulfuric acid medium and following photometry of the reaction product at 520 nm was proposed. The linearity of the calibration curve is maintained in the range of 2.0–210.0 mg L⁻¹, $s_{\text{d}} \leq 0,046$, $n=8$. The detection limit (blank+3σ) for iodate is 1.3 mg L⁻¹ where s is the standard deviation of blank estimation. The metrological characteristics of the procedure were tested on standard solutions and samples of iodized table salt. The developed procedure is simple in execution and suitable for the determination of iodine content in iodized salt.

Keywords: йодат; p-анізидин; N,N-діетил анілін; p-тіоцано-N,N-діетил анілін; спектрофотометрія; густинна функціональна теорія.

REFERENCES

- Mollayeva N.R., Dikevich E.A. Ways of correction of mental disorders in children in iodine deficiency region. *Russian Medical Journal*, 2007, no. 28, pp. 2182-2187. (in Russian).
- Noskova G.N., Ivanova E.E., Tolmacheva T.P., Zaichko A.V. Determination of iodine in food products by the method of inversion voltammetry. *Food Industry*, 2006, no. 2, pp. 16–18. (in Russian).
- Narayana B., Pasha C., Cherian T., Mathew M. Spectrophotometric method for the determination of iodate using methylene blue as a chromogenic reagent. *Bulletin of the Chemical Society of Ethiopia*, 2006, vol. 20, no. 1, pp. 143–147.
- Afkhami A., Mosaed F. Sensitive kinetic-spectrophotometric determination of iodate in iodized table salt based on its accelerating effect on the reaction of bromate with chloride ion in the presence of hydrazine. *Analytical Sciences*, 2002, vol. 18, pp. 667–670.
- Xu X.R., Li H.B., Gu J.-D., Paeng K.J. Determination of iodate in iodized salt by reversed-phase high-performance liquid chromatography with UV detection. *Chromatographia*, 2004, vol. 60, pp. 721–723.
- Xie Z., Zhao J. Reverse flow injection spectrophotometric determination of iodate and iodide in table salt. *Talanta*, 2004, vol. 63, pp. 339–343.
- Pasha C., Narayana B. A highly sensitive spectrophotometric method for the determination of iodate using leuco xylene cyanol FF. *Acta Chimica Slovenica*, 2006, vol. 53, pp. 77–80.
- Su N.Q., Xu X. Development of new density functional approximations. *Annual Review of Physical Chemistry*, 2017, vol. 68, pp. 155–182.
- Frisch M.J., Trucks G.W., Schlegel H.B., Scuseria G.E., Robb M.A., Cheeseman J.R., Scalmani G., Barone V., Petersson G.A., Nakatsuji H., Li X., Caricato M., Marenich A., Bloino J., Janesko B.G., Gomperts R., Mennucci B., Hratchian H.P., Ortiz J.V., Izmaylov A.F., Sonnenberg J.L., Williams-Young D., Ding F., Lipparini F., Egidi F., Goings J., Peng B., Petrone A., Henderson T., Ranasinghe D., Zakrzewski V.G., Gao J., Rega N., Zheng G., Liang W., Hada M., Ehara M., Toyota K., Fukuda R., Hasegawa J., Ishida M., Nakajima T., Honda Y., Kitao O., Nakai H., Vreven T., Throssell K., Montgomery J.A., Peralta Jr., J.E., Ogliaro F., Bearpark M., Heyd J.J., Brothers E., Kudin K.N., Staroverov V.N., Keith T., Kobayashi R., Normand J., Raghavachari K., Rendell A., Burant J.C., Iyengar S.S., Tomasi J., Cossi M., Millam J.M., Klene M., Adamo C., Cammi R., Ochterski J.W., Martin R.L., Morokuma K., Farkas O., Foresman J.B., Fox D.J. *Gaussian 09, Revision A.02*. Gaussian, Inc., Wallingford CT, 2016. Available at: <http://www.gaussian.com/>.
- Kreshkov A.P., *Osnovy analiticheskoi khimii* [Fundamentals of analytical chemistry]. Khimiya, Moscow, 1970. (in Russian).
- Zaporozhets O.A., Pogrebnyak O.S., Vizir N.N. Spectrophotometric determination of oxyhalides with N,N-diethylaniline. *Journal of Analytical Chemistry*, 2012, vol. 67, pp. 694–700.
- Tran H.D., D'Arcy J.M., Wang Y., Beltramo P.J., Strong V.A., Kaner R.B. The oxidation of aniline to produce «polyaniline»: a process yielding many different nanoscale structures. *Journal of Materials Chemistry*, 2011, vol. 21, pp. 3534–3550.
- Bondarchuk S.V., Minaev B.F. Electronic descriptors for analytical use of the benzidine-based compounds and the mechanism of oxidative coupling of anilines. *Journal of Physical Organic Chemistry*, 2014, vol. 27, pp. 640–651.
- Minaeva V.O., Bocharkova V.M., *Matematychna obrabka danykh khimichnogo eksperimentu* [Mathematical treatment of data of a chemical experiment]. The Bohdan Khmelnytsky National University of Cherkasy Publishers, Cherkasy, 2003. 208 p. (in Ukrainian).